

V-232 ホイールトラッキング試験による耐流動アスファルト混合物についての考察

大阪市立大学工学部 正員 口山田 優
 (株) 根来組 正員 根来日出晴
 大阪市立大学工学部 正員 三瀬 貞

1. まえがき

最近、重交通道路の特に交差点部の舗装には、耐流動混合物と称される混合物を使ふことが多い。それらの評価に、ホイールトラッキング試験がよく利用されるが、アスファルトがかなり低いスチフネスを示す状態での混合物の変形抵抗が検討されねばならない。その場合、混合物の変形は、タイヤ接地圧に比例しないことを、前回指摘した。このことは、他の研究結果²⁾でも知ることができ、一般に認められている。³⁾以下、ホイールトラッキング試験による変形率と接地圧の関係を基本にして、数種の耐流動混合物を比較検討してみた。

2. 変形率 RD と接地圧 P の関係について

例えば、菅原ら³⁾は、30~60℃の温度範囲において、 $D_S (= \frac{42}{RD})$ の対数と P が線形関係にあるとしている。しかし、密粒度アスコンについての著者らの実験²⁾では、図-1 に示すように、RD と P の関係を実験条件の範囲で直線で近似できる。可能なうち、 $RD = A(P - B)$, A, B: 定数 $\cdots \cdots \cdots (1)$ となる。A は、温度により大きく変化するが、B は、60℃以上の RD の大きさ²⁾ 温度範囲では、温度による影響が小さい。ただし、混合物の種類や配合が異なると、B に有意な変化が見られる。(図-2, 3 参照) A は、アスファルトの粘度で、B は、骨材のかけ合わせの程度で、それが支配されると予想される。

なお、これらの実験の方法、材料については、前回報告した通りだが、RD の値は、荷重、温度の違いによるタイヤ接地面積の変動の影響を補正すべく、次式を用いて、標準条件 ($P=0.64$ MN/m², タイヤ硬度 80°, 接地面積 = 50 mm × 19 mm)²⁾ の値に換算してある。

$$RD = \frac{d_2 - d_1}{t_2 - t_1} \times \frac{\text{標準条件での接地面積} (951 \text{ mm}^2)}{\text{Yの試験条件での接地面積}} \quad \cdots \cdots (2)$$

d_1, t_1 : (45 分)における変形量 (mm)
 d_2, t_2 : (60 分) " "

3. 耐流動混合物の試験結果と考察

混合物は表-1 に示す 5 種類である。No. 1 ~ 4 は、最近、大阪府下で使用される代表的耐流動混合物である。No. 5 は、通常の混合物を比較のために採用した。いずれも、現場と同じ、材料、配合及び基準密度で供試体を作製した。

表-1. 使用した混合物の種類名とアスファルト及び添加物の種類と配合率

番号	混合物の種類名	アスファルトの種類と率	添加物の種類と率
No. 1	13 mm 密粒度セミブローンアスファルトコンクリート	セミブローンアスファルト (AC-100) 5.6%	
No. 2	樹脂入り 13 mm 密粒度アスファルトコンクリート	6% ストレートアスファルト, 5.7%	熱可塑性樹脂、アスファルト量の 6% (混合率)
No. 3	吸油材入り 13 mm 密粒度アスファルトコンクリート	" , 5.7%	吸油材、全重量の 6% (混合率)
No. 4	ゴム入り 13 mm 密粒度アスファルトコンクリート	" , 5.0%	ゴムラテックス (固形分 50%), アスファルト量の 8% (混合率)
No. 5	13 mm 密粒度アスファルトコンクリート	" , 5.5%	

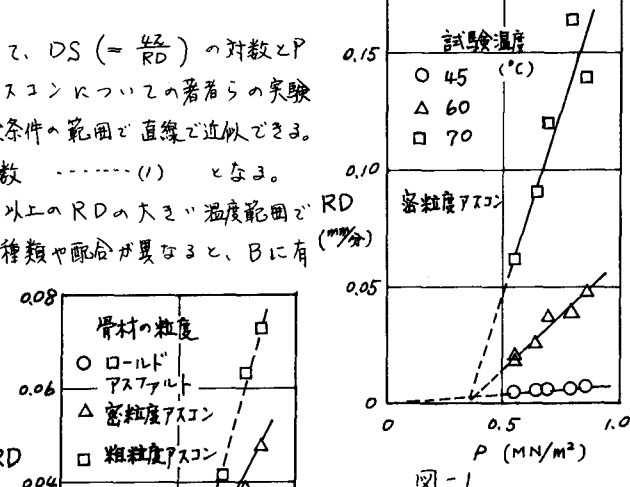


図-2

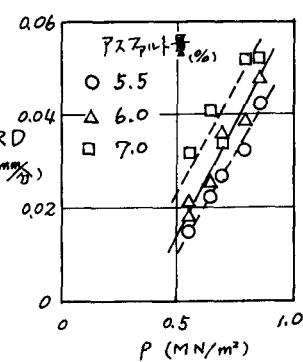


図-3

表-2. アスファルトの試験結果

アスファルトの状態	針入度	軟化点(°C)	P I
ストレート original	65.5	47.7	-1.16
アスファルト 構成体の回収	40.9	54.6	-0.57
セミグローン original	51.5	56.0	0.27
アスファルト 構成体の回収	40.7	60.2	0.57
樹脂入りアスファルト(セミ)	36.4	56.8	-0.35
ゴム入りアスファルト(セミ)	56.7	55.0	0.29

試験結果から式(2)を用いて求めたRDと接地圧Pの関係を、混合物ごとにプロットすると図-4～8のようになる。各温度について、式(1)で、近似させ、A、Bの値を各混合物について一定とするとき、勾配Aの値は、混合物によりかなり異なるが、P軸の接片Bの値は、全混合物について、ほぼ0.3～0.4 MN/m²の範囲にあり、大きな違いがない。これは、全て同じ密粒配合となるためである。従って、これらの混合物の比較は、Aだけを行うことになる。

Aの値と、回収アスファルトの各試験温度での粘度 η (Ns/m²)の関係を図-9に示す。ただし、 η はShellのモグラフから求めた。また、混合物No.3、4については、ストレートアスファルトの η (mm/min)を用いている。 $\log A$ と $\log \eta$ は、各混合物についてほぼ直線関係にある。これは、これまで菅原ら⁴⁾より見出されており $\log DS$ と $\log \eta$ が直線関係にあるということも同様な意味をもつ。それらの直線の勾配は、0.6～0.8の範囲である。これはHofstra⁵⁾の実験における永久変形量 δ_p とバインダーのスチフネス S_{bit} の関係における値に近い。

図-9から、No.1については、アスファルトの粘度が大きいほどAが小さくなるが、さらに、 η 以外の要因でAが通常混合物(No.5)に比べて若干小さくなる傾向も見られる。樹脂の添加効果は明らかである。(No.2) ゴムの添加効果も見られる。(No.3) No.3は、No.5とはほとんど変わらない。これは、吸油材の効果は、高溫での養生によく

発現するところであるが、今回の実験では、それが行なわれない。

あとがき

今後さら

に、現場での追跡調査

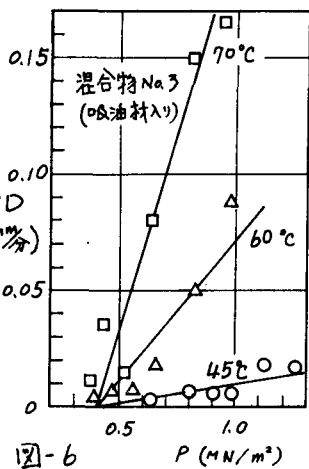


図-6

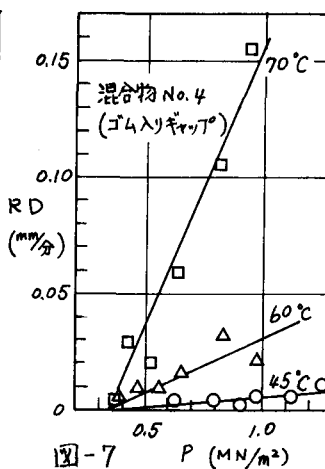


図-7

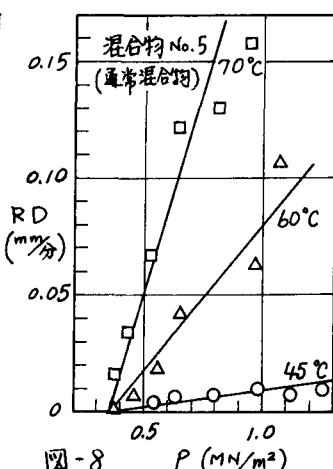


図-8

まとめ、研究を続けたい。最後に、試験講習会実施されている関係官庁、並びに、施工会社、材料メーカーの方々に協力いただいたことを深謝する。また、室内実験を実施した4回生 加藤隆二(現・川鉄エンジニアリング)、守屋洋一(現・大林組)の両君の勞に感謝する。

- (参考文献)
- 相澤S; 第37回年次講演, V-241, 1982.
 - 例えは: 菅原S; 第24回年次講演, V-134, 1969.
 - 2) 及び、菅原S; 第25回年次講演, V-79, 1970.
 - 菅原S; 第31回年次講演 V-128, 1976.
 - Hofstra S; 3rd Int. Conf. of Str. Des. of Asp.-Pav. pp.613-621, 1972
 - 6) 畑S; 輪滑, 14-9, pp.8-14, 1979.

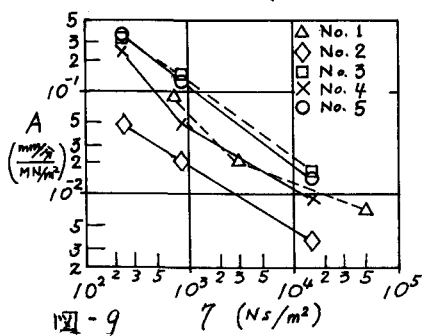


図-9